

Трудоемкость решения уравнения Пуассона с помощью процессов блуждания по сферам

Шныренкова Дарья Юрьевна, группа 522

Санкт-Петербургский государственный университет
Математико-механический факультет
Кафедра статистического моделирования

Научный руководитель — к.ф.-м.н. Н.Э. Голяндина
Рецензент — к.ф.-м.н. В.В. Некруткин

Постановка задачи

Внутренняя задача Дирихле для уравнения Пуассона в ограниченной области $G \subset \mathbb{R}^m$, $m \geq 2$, с границей $\Gamma = \partial G$:

$$\begin{cases} \Delta u = -q \\ u|_{\Gamma} = \varphi \end{cases}$$

Предположения:

- Γ является R_1 -регулярной
- $\varphi \in \mathbf{C}(\Gamma)$ и q удовлетворяет условию Гельдера на G .

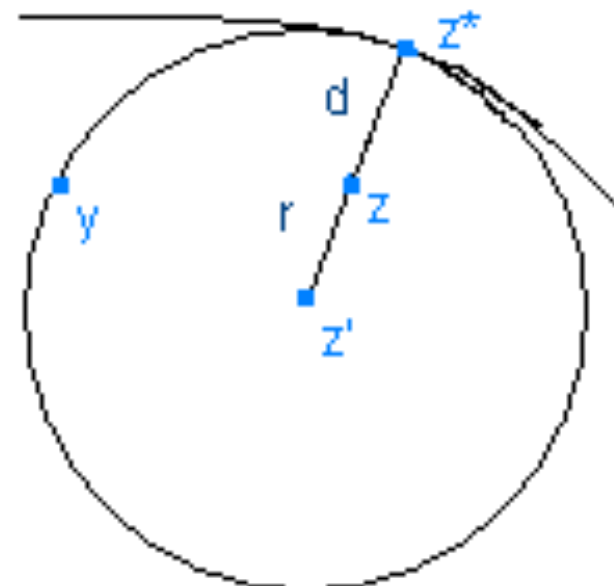
Оценка решения задачи методом Монте-Карло строится на траекториях марковских цепей, вложенных в броуновское движение:

- стандартный сферический процесс (ССП)
- сферический процесс со сдвинутыми центрами (СПСЦ)

Цель — реализовать оценки, исследовать и сравнить их трудоемкость

Сферические процессы: обозначения

- Область $G \subset \mathbb{R}^m$, $m \geq 2$, с границей Γ ;
- $d(\mathbf{z}) = \text{dist}(\mathbf{z}, \Gamma)$;
- *Функция сдвига:*
 $k : G \mapsto \mathbb{R}$, $k(\mathbf{z}) \geq 1$; — такая, что шар с центром в \mathbf{z}' и радиусом kd лежит в \overline{G} ,
 $\mathbf{z}' = \mathbf{z} + (k(\mathbf{z}) - 1)(\mathbf{z} - \mathbf{z}^*)$;
- *Сфера с $k(\mathbf{z})$ -сдвинутым относительно точки \mathbf{z} центром:*
 $S_{\mathbf{z}'} = \partial B_{k(\mathbf{z})d(\mathbf{z})}(\mathbf{z}')$.



Сферические процессы: определения

Введем $T: 0 \leq T \leq R_1$, $k(\mathbf{z}) = \max(T/d(\mathbf{z}), 1)$;

- *T -сферическое семейство со сдвинутыми центрами* — марковское семейство $\Xi = \{\xi_n, \mathcal{F}_n = \sigma(\xi_1, \dots, \xi_n), \mathbf{P}_{\mathbf{x}}\}$ при $\mathbf{x} \in G$, имеющее переходную функцию с плотностью

$$p_{\mathbf{z}}(\mathbf{y}) = \frac{k^{m-2}(\mathbf{z})(2k(\mathbf{z}) - 1)d^m(\mathbf{z})}{|\mathbf{z} - \mathbf{y}|^m}$$

относительно равномерного распределения $\mu_{\mathbf{z}'}$ на сфере $S_{\mathbf{z}'}$;

- $T > 0$:
 - Если $d(\mathbf{z}) < T$, то $k(\mathbf{z}) > 1$ и радиус R сферы со сдвинутым центром равен T , $k(\mathbf{z}) \rightarrow \infty$ при $z \rightarrow \Gamma$.
 - Иначе $k(\mathbf{z}) = 1$ и $R = d(\mathbf{z})$.
- $T = 0$: $k(\mathbf{z}) \equiv 1$ — стандартный сферический процесс.



Оценка решения

Известно, что реализуемая оценка решения $u(x)$ внутренней задачи Дирихле для уравнения Пуассона

$$\begin{cases} \Delta u = -q \\ u|_{\Gamma} = \varphi \end{cases}$$

имеет форму

$$\zeta_{\varepsilon}^* = \sum_{n=0}^{\nu_{\varepsilon}-1} a(\xi_n) q(\lambda_n) + \varphi(\xi_{\nu_{\varepsilon}}^*),$$

где $\{\xi_l\}_{l=0}^{\infty}$ — T -сферический процесс со сдвинутыми центрами, начинающийся в точке x .

- ξ_n распределено на сфере со сдвинутым относительно ξ_{n-1} центром
- λ_n распределено в шаре со сдвинутым относительно ξ_{n-1} центром

Сравнение трудоемкости

Факторы, влияющие на трудоемкость:

- среднее число шагов T -сферического процесса до попадания в ε -окрестность границы:
 - ССП ($T = 0$): $\leq C_1 \ln |\varepsilon| + C_2$
 - СПСЦ ($T > 0$): $\leq C_1 \ln \ln |\varepsilon| + C_2$
- дисперсия оценки решения
 - дисперсия конечна и ограничена константой, не зависящей от выбора T ;
- трудоемкость моделирования одного шага сферического процесса, т.е. моделирования ξ_n и λ_n
 - моделирование СПСЦ более трудоемко, чем ССП

Цель:

- уменьшение трудоемкости решения задачи методом Монте-Карло путем построения хороших методов моделирования ξ_n и λ_n .

Вид распределений ($m = 3$)

- $\xi \sim p_{\mathbf{z}}(\mathbf{y})$ — распределение на сфере:

$$p_{\mathbf{z}}(\mathbf{y}) = \frac{k(2k-1)d^3}{4\pi R^2 |\mathbf{z} - \mathbf{y}|^3}; \quad k = k(\mathbf{z}), d = d(\mathbf{z});$$

- $\lambda \sim \phi_{\mathbf{z}}(\mathbf{y})$ — распределение в шаре:

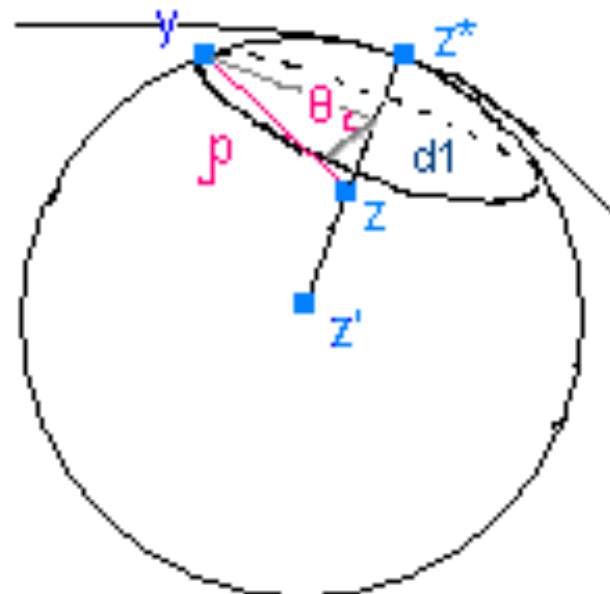
$$\phi_{\mathbf{z}}(\mathbf{y}) = g_{\mathbf{z}}(\mathbf{y})/a_{\mathbf{z}};$$

- $a_{\mathbf{z}} = \frac{R^2 - |\mathbf{z} - \mathbf{z}'|^2}{6};$
- $g_{\mathbf{z}}(\mathbf{y}) = \frac{1}{4\pi} \begin{cases} \left(\frac{1}{|\mathbf{z} - \mathbf{y}|} - \frac{R}{|\mathbf{z} - \mathbf{z}'|} \frac{1}{|\mathbf{z}' - \mathbf{y}|} \right), & \text{если } \mathbf{z} \neq \mathbf{z}', \\ \left(\frac{1}{|\mathbf{y}|} - \frac{1}{d} \right), & \text{если } \mathbf{z} = \mathbf{z}'. \end{cases}$

Моделирование распределения на сфере

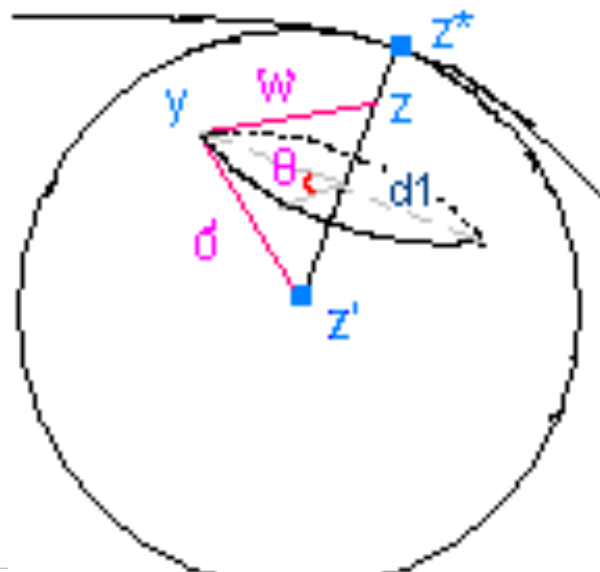
$$p_{\mathbf{z}}(\mathbf{y}) = \frac{k(2k-1)d^3}{4\pi R^2 |\mathbf{z} - \mathbf{y}|^3}; \quad k = k(\mathbf{z}), d = d(\mathbf{z});$$

- $k = 1$: равномерное распределение на сфере радиуса d ;
- $k > 1$:
 - моделирование ρ с плотностью $\vartheta(\rho) = \frac{(R^2 - r^2)}{2r} \frac{1}{\rho^2}$ методом обратных функций;
 - равномерное распределение на окружности радиуса $d_1 = d_1(\rho)$.



Моделирование распределения в шаре

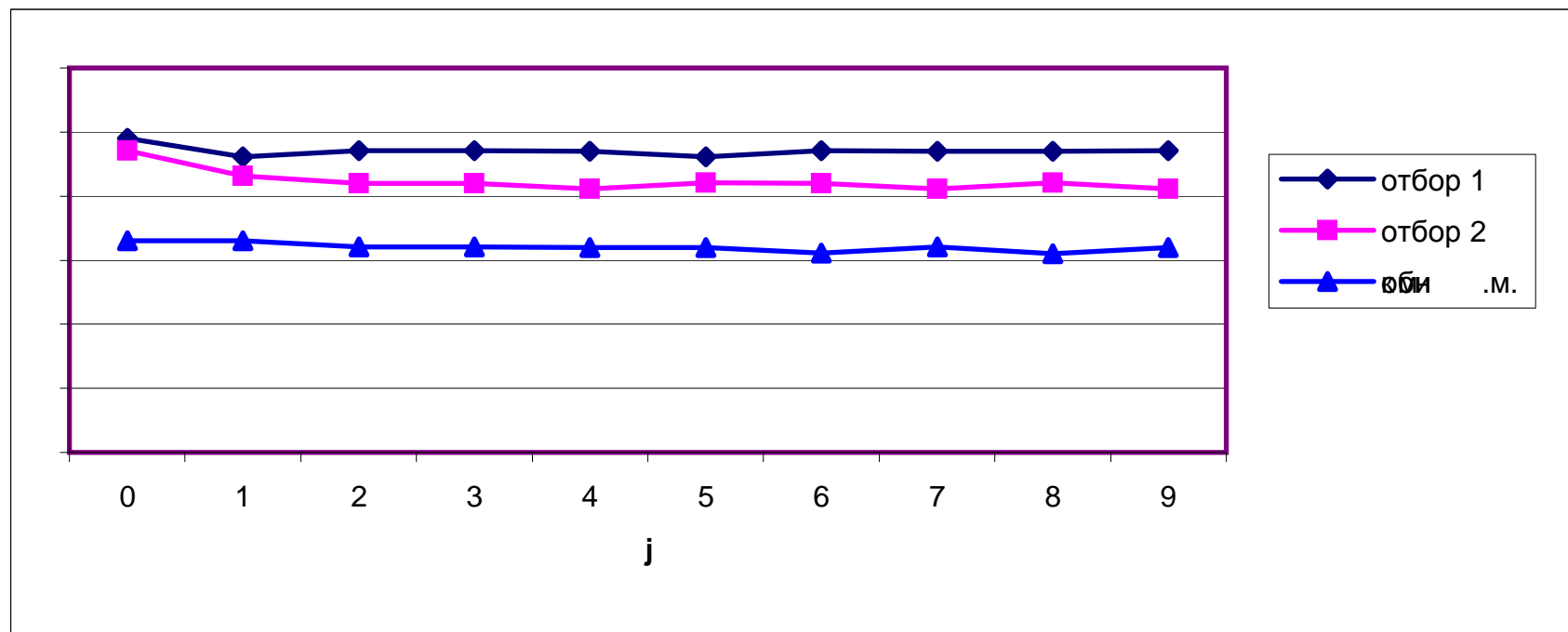
- $k = 1$: равномерное распределение на сфере с центром в точке \mathbf{z} радиуса σ , где плотность $\vartheta(\sigma) = \frac{6\sigma(d - \sigma)}{d^3}$, $\sigma \in [0, d]$, моделируется с помощью второй порядковой статистики из трех р.р. случайных величин;
- $k > 1$:
 - моделирование переходом в новые координаты (ω, σ, θ) ;
 - $\phi_{\mathbf{z}}(\omega, \sigma, \theta) = \phi_1(\theta) \times \phi_2(\sigma) \times \phi_3(\omega|\sigma)$.
 - $\phi_1(\theta) = \frac{1}{2\pi}$



Моделирование распределения в шаре. Плотность $\phi_2(\sigma)$

$$\phi_2(\sigma) = \frac{1}{R(2R-d)} \begin{cases} \frac{6\sigma(R-\sigma)}{d}, & \text{если } R-d \leq \sigma < R, \\ \frac{6\sigma^2}{R-d}, & \text{если } 0 < \sigma < R-d \end{cases}$$

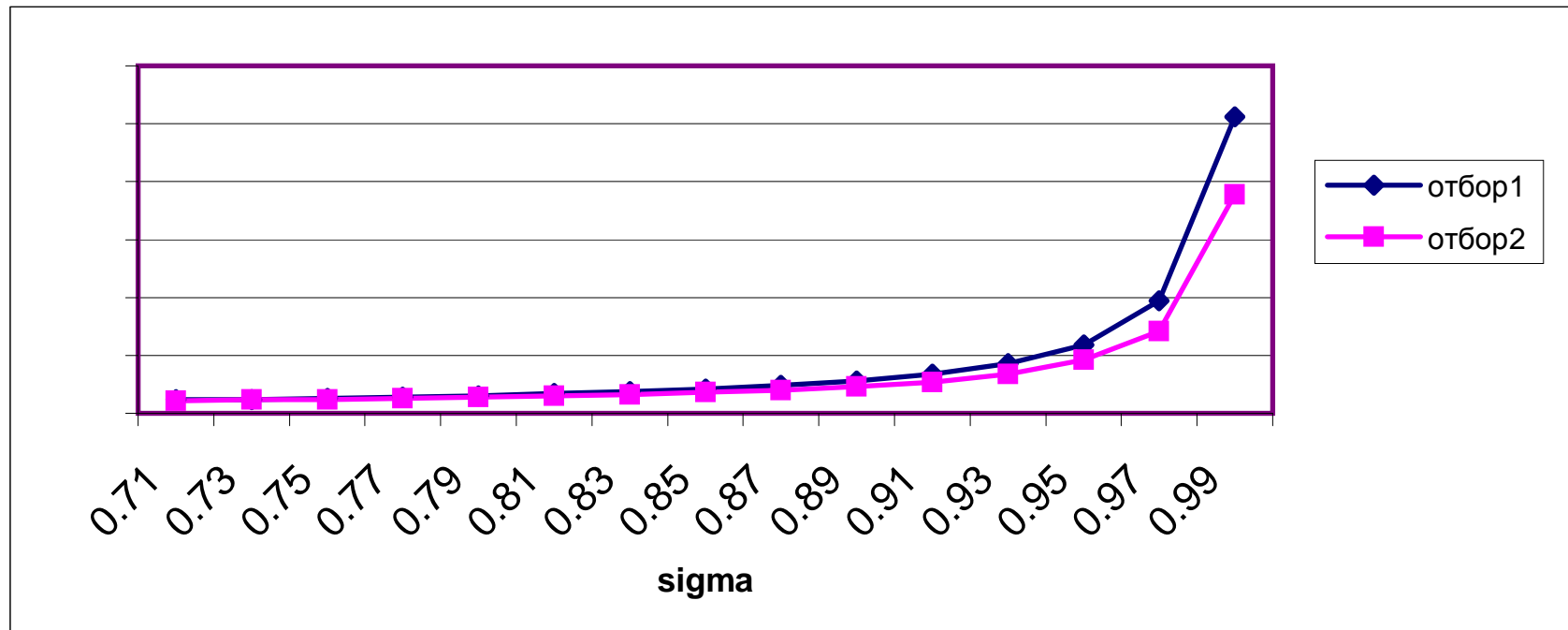
Время моделирования, оцененное с помощью 1000000 реализаций, в зависимости от коэффициента сдвига $k = 3 \cdot 5^j$.



Моделирование распределения в шаре. Плотность $\phi_3(\omega|\sigma)$

$$\phi_3(\omega|\sigma) = L \cdot \left(1 - \left(1 + \frac{R^2 - (R-d)^2}{\omega^2} \left(1 - \frac{\sigma^2}{R^2}\right)\right)^{-\frac{1}{2}}\right), |R - \sigma| \leq \omega < R + \sigma$$

Время моделирования для $k = 300$, оцененное с помощью 1000000 реализаций, в зависимости от σ ($T = 1$).



Алгоритм решения уравнения Пуассона

$$\zeta_\varepsilon^* = \sum_{n=0}^{\nu_\varepsilon - 1} a(\xi_n)q(\lambda_n) + \varphi(\xi_{\nu_\varepsilon}^*),$$

Вход: $\varphi, q, T, \varepsilon, x_0$

Выход: ζ_ε^*

1. $j \leftarrow 0, \xi_j \leftarrow x_0, f \leftarrow 0, f_0 \leftarrow 0;$
2. $d \leftarrow \text{dist}(\xi_j, \Gamma)$, if ($d < \varepsilon$) go to 7;
3. $\lambda_j \leftarrow \phi(\xi_j, y)$; // Алгоритмы “отбор+через максимум” и “отбор 2”,
переход к глоб. координатам
4. $f \leftarrow f + a(\xi_j)q(\lambda_j)$
5. $\xi_{j+1} \leftarrow p(\xi_j, y)$; // Алгоритм “м. обр. функций”, переход к глоб.
координатам
6. $j \leftarrow j + 1$, go to 2 ;
7. $f_0 \leftarrow \varphi(\xi_j^*)$ (ξ_j^* — граничная точка, ближайшая к ξ_j);
8. $\zeta_\varepsilon^* \leftarrow f_0 + f.$

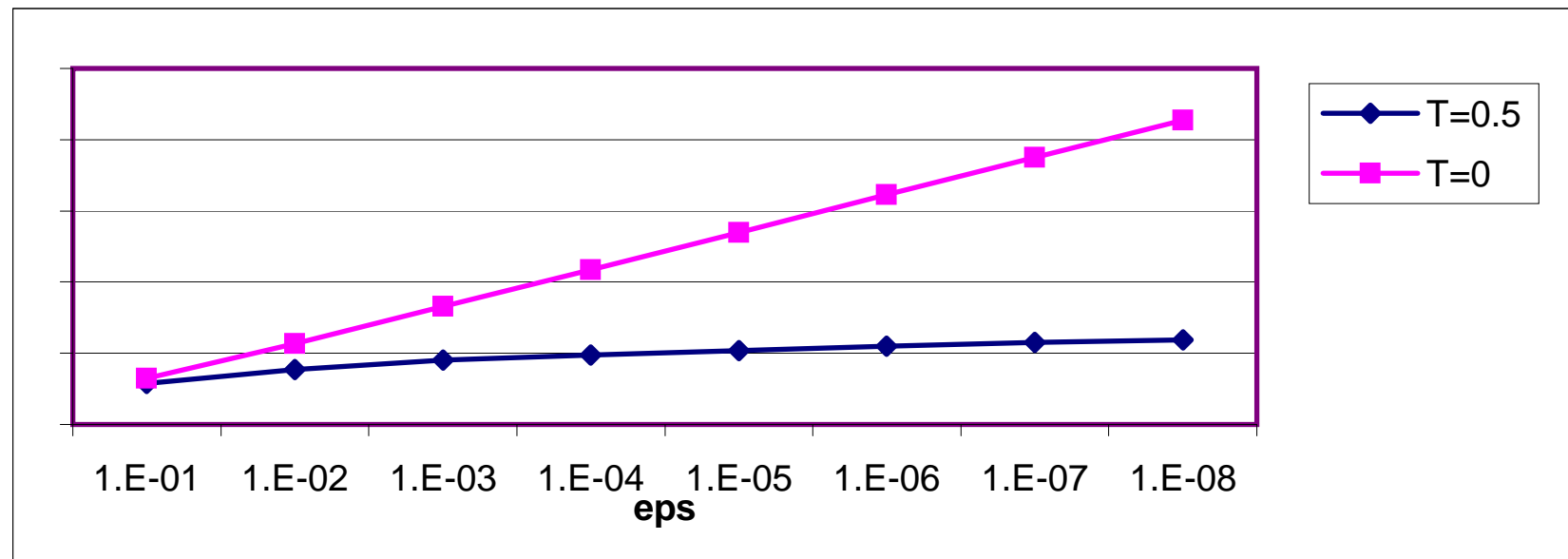
Пример. Однородная задача

Область — шар радиуса 1 с центром в нуле.

Начальная точка — $x_0 = (0.1, 0, 0.1)$, 100000 реализаций.

Задача: $u(x) = 1/\text{dist}(\mathbf{x}, K)$, $\varphi(x) = u|_{\Gamma}$, $q = 0$, $K = (2, 2, 2)$.

- Трудоемкость решения методом Монте-Карло с ростом параметра T уменьшается;
- Преимущество в трудоемкости решения методом Монте-Карло с помощью СПСЦ с параметром $T = 0.5$ по сравнению со ССП ($T=0$).



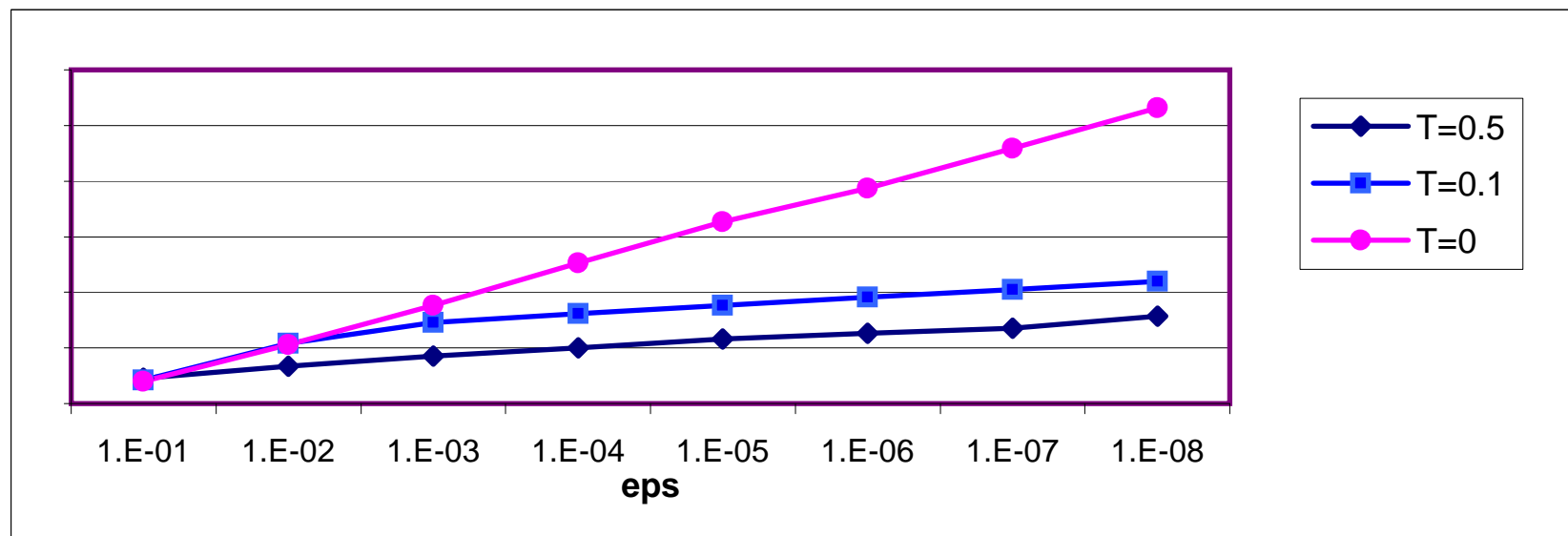
Пример. Неоднородная задача

Область — шар радиуса 1 с центром в нуле.

Начальная точка — $x_0 = (0.1, 0, 0.1)$, 100000 реализаций.

Задача: $u(x) = \text{dist}^4(\mathbf{x}, K)$, $\varphi(x) = u|_{\Gamma}$, $q(x) = -20\text{dist}^2(\mathbf{x}, K)$, $K = (2, 2, 2)$.

- Трудоемкость решения методом Монте-Карло в данном примере с ростом параметра T уменьшается;
- Преимущество в трудоемкости решения методом Монте-Карло с помощью СПСЦ с параметрами $T = 0.5$ и $T = 0.1$ по сравнению со ССП ($T=0$).



Двумерный случай

$$k \rightarrow \infty, d \rightarrow 0, r = R - d \rightarrow R.$$

- Распределение на окружности:

$$p_{\mathbf{z}}(\varphi) = \frac{R^2 - r^2}{2\pi(R^2 + r^2 - 2rR \sin \varphi)}, \varphi \in [0, 2\pi);$$

- Распределение в круге:

$$\phi_z(x, \psi) = \frac{1}{\pi(R^2 - r^2)} x \ln \left(\frac{r^2}{R^2} + \left(1 - \frac{r^2}{R^2}\right) \frac{R^2 - r^2 - 2rx \sin \psi}{x^2} \right),$$

$$\psi \in [0, 2\pi), x \in [0, -r \sin \psi + \sqrt{R^2 - r^2 \cos^2 \psi}].$$